

نمدجة تقلبات أسعار الذهب: تجربة من الجزائر

Modeling the fluctuations of gold prices: evidence from Algeriaالعقاب محمد^١، شامخ عباس^٢، بن سليمان شهرة^٣^١ مخبر مكيماد MQEMADD، جامعة زيان عاشور - الجلفة (الجزائر)، mohamedelaguab18@gmail.com^٢ جامعة زيان عاشور - الجلفة (الجزائر)، abbaschamekh123@gmail.com^٣ جامعة زيان عاشور - الجلفة (الجزائر)، be.chahra123@gmail.com

تاريخ النشر: 2020-10-25

تاريخ القبول: 2020-09-03

2020-05-29 تاريخ الاستلام:

ملخص:

تهدف هذه الدراسة إلى إبراز أهمية نماذج الانحدار الذاتي المشروط بعدم ثبات التباين في نمدجة تقلبات أسعار أوقية الذهب، ومن خلال تحليل هذا المؤشر في الجزائر باستخدام بيانات يومية للفترة الممتدة من 01 جانفي 2016 إلى 29 فيفري 2020، خلصت الدراسة إلى وجود مشكل عدم تجانس التباين بسبب الصدمات المتتالية مما فرض علينا استخدام النماذج الأسيّة (Exponential) والتي تعتمد على إلغاء فرضيّي التنازلي والصياغة الخطية، وكان النموذج الأفضل EGARCH(1,1) في عملية التقدير. و بالتالي فإن الصدمات الموجبة المرتافقة مع الأخبار الجيدة تنتج تقلبات أقل حدة في أسعار أوقية الذهب في الجزائر من تلك الصدمات السالبة المرتافقة مع الأخبار السيئة.

كلمات مفتاحية: أوقية الذهب؛ صدمات؛ نماذج EGARCH؛ الجزائر.

. E3, C32 : JEL تصنيف

Abstract:

The aim of this study is to highlight the importance of ARCH models to model the fluctuations in the daily gold ounce prices in Algeria over the period of 1 January 2016 to 29 February 2020. Due to the successive shocks, the empirical study concluded the presence heteroscedasticity problem. To remedy this problem, we use the exponential models because the linearity and the symmetry hypotheses will be suppressed. Therefore, the obtained results show that EGARCH(1,1) is the optimal model. Thus, the positive shocks associated with good news produce less severe fluctuations in the price of an ounce of gold in Algeria than those negative shocks associated with bad news.

Keywords: gold ounce; Shocks; EGARCH models; Algeria.

JEL Classification: E3, C32.

1. مقدمة:

يعتبر الذهب من المعادن الشمينة التي عرفت منذآلاف السنين، ويمكن أن يتواجد بشكل حر في الطبيعة أو مختلطا بالعناصر الكيميائية الأخرى، ويرمز له بالرمز AU وعدهه الذري 79 في الجدول الدور للعناصر الكيميائية، ويعد الذهب من الاستثمارات المربحة التي يمكن للشخص أن يستثمر فيها أمواله فانخفاض أسعاره مكسب وارتفاعها يعود بالربح والفائدة في حال تم بيعه، إلا أن سعر الذهب يتأثر بالأحداث السياسية العالمية والأوضاع الاقتصادي في الأسواق المالية العالمية فنلاحظ تارة ارتفاع أسعار الذهب وتارة انخفاضها بدون سابق إنذار وهذا كله يؤثر على المستثمرين وتجارتهم. كما يعتبر الذهب من بين أهم المعادن وأكثرها استخداما في حياتنا اليومية عند كل الدول، كما أن الإقبال عليه يزداد يوما بعد يوم لذلك فإن الكثير من المستثمرين والدول يلتجئون إلى توفير أموالهم بشراء الذهب لأنه المعدن الأمين الذي يحافظ على قيمته الشرائية.

وفي إطار نمذجة أسعار الذهب تعتبر النماذج الكلاسيكية (ARIMA) من بين الطرق الكمية التي ساهمت بدور كبير في نمذجة الكثير من الظواهر الاقتصادية، واستطاعت أن تعطي لعدة نظريات صورة رياضية تساعد على التنبؤ بالقيم المستقبلية. غير أن هذه الطريقة ترتكز على فرضية أساسية وهي ثبات تباين بوادي النموذج أو تجانس التباين (Homoscedasticity) بالنسبة لكل مشاهدات العينة أو عند كل فترات الدراسة، وبالتالي فإن هذا النوع من النماذج الخطية لا يستطيع أن يترجم الصفة الحركية لبعض الظواهر الاقتصادية مما لا يسمح بأخذ الميكانيزمات غير المتناظرة بعين الاعتبار ضمن هذا النوع من النماذج، لذا يتحتم علينا التفكير في نماذج (ARCH) المتناظرة وغير المتناظرة والتي تأخذ في الحسبان الشروط السالفة الذكر.

1.1 إشكالية البحث:

وعلى ضوء ما سبق يمكننا طرح إشكالية الدراسة كما يلي:

هل يمكننا نمذجة التقلبات اليومية لأسعار أوقية الذهب في الجزائر باستخدام نماذج ARCH؟

2.1 أهداف البحث:

نهدف من خلال هذه الدراسة إلى تحديد النموذج الإحصائي الأمثل الذي تخضع له سلسلة أسعار الذهب في الجزائر، لأنه من أهم المعادن التي تحافظ عليها الدولة الجزائرية في خزينتها كباقي دول العالم لأنه يمثل القوة الاقتصادية للدولة؛ ومن أجل نمذجة أسعار الذهب في هذه الدراسة تم الاعتماد على بيانات يومية لسلسلة أسعار الذهب (باليورو الجزائري للأوقية) وذلك للفترة الممتدة [من 01-01-2016 إلى 29-02-2020]، وفقا للنماذج الخطية المعتمدة على الانحدار الذاتي والمتواسطات المتحركة (ARMA)، بالإضافة إلى نماذج عدم ثبات التباين المشروط والمتمثلة في [ARCH/GARCH/EGARCH] لتبني سلوك تقلبات أسعار الذهب.

3.1 منهج البحث:

وبعدة الإمام بمختلف جوانب الدراسة تم الاعتماد على المنهج الوصفي من أجل عرض الجانب النظري وبمختلف المفاهيم، بالإضافة إلى المنهج الاستقرائي لبناء نموذج قياسي يفسر التغيرات الحاصلة في سلسلة أسعار الذهب.

4.1 الدراسات السابقة:

فيما يخص الدراسات السابقة فهي كثيرة ومتعددة، ذكر من أهمها:

دراسة (Massarrat Ali khan,2013)¹ بعنوان: Forecasting of Gold Prices (Box Jenkins Approach)، قام الباحث من خلال هذه الدراسة إلى محاولة تطوير نموذج للتنبؤ بسعر اليومي للذهب وذلك بالاعتماد على قاعدة البيانات خلال الفترة 02 جانفي 2003 إلى غاية 01 مارس 2012، وباستخدام منهجة بوكس

وجنكيز والنماذج الخطية المختلطة والمتكمال (ARIMA) لبناء نموذج التنبؤ، توصل الباحث إلى أن (0.1.1) هو النموذج المناسب للتنبؤ بسعر الذهب وقد تم استخدام كل من المعايير: MSE، RMSE، MAPE لاختبار دقة التنبؤ؛ دراسة (K Murali Krishna, N Konda Reddy, M Raghavendra Sharma, 2019)² بعنوان: Forecasting of Daily Prices of Gold in India using ARIMA and FFNN Models للتنبؤ بالأسعار اليومية للذهب في الهند، حيث اعتمد الباحثون على نماذج (ARIMA) والشبكات العصبية الاصطناعية (ANN) وخلال فترة دراسة من 1 جانفي 2014 إلى 24 جويلية 2018 توصلوا إلى أن النموذج الأكثر دقة هو نموذج والشبكات العصبية وهذا بالاعتماد على معايير المفاضلة متوسط الخطأ المطلق (MAE)، خطأ النسبة المئوية المطلقة (MAPE) وخطأ الجذر التربيعي المتوسط (RMSE).

2. وصف موجز لمتغيرة الدراسة:

1.2 التعريف بسعر الذهب:

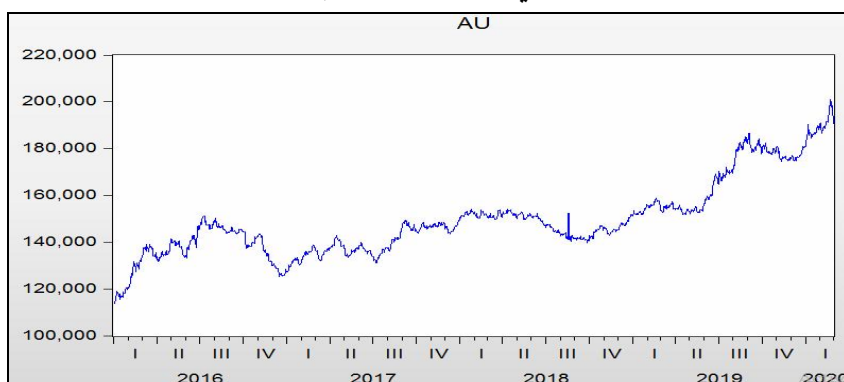
يُعبر سعر الذهب عن القيمة المستخدمة لتداول الذهب بالأأسواق، وينتَرّ سعره مثل أسعار كافة المنتجات بالعرض والطلب في السوق؛ حيث يُستخدم في العديد من المجالات الصناعية وغيرها، كما يُشكّل الذهب جزءاً من مخزون الثروات، ويُعدّ من المخزونات الآمنة والبديلة عن الدولار الأمريكي³؟

يشهد سعر الذهب تغيرات عديدة فتارة ينخفض وتارة أخرى يرتفع، وترتبط هذه التغيرات بوجود أسباب عالمية كدمع قيمة الدولار الأمريكي والتي تساهم في تحسين الاقتصاد الأمريكي، وتخلي المؤسسات المالية عن استخدام الذهب وذلك لأنّه يمثل عملة احتياطية عالمية بالإضافة إلى ارتفاع القوة الشرائية وزيادة النمو الاقتصادي وهذا عامل أساسى في انخفاض سعر الذهب، كذلك تعتبر البرامج السياسية من بين أهم العوامل في التأثير على سعر الذهب.⁴

2.2 تطور أسعار الذهب في الجزائر:

سنعمل على إلقاء نظرة على التطور اليومي لأسعار الذهب في الجزائر، وذلك لأخذ فكرة وصورة أولية عن كيفية تغيراتها من خلال التمثيل البياني الموضح في الشكل (1).

الشكل (01): التمثيل البياني لأسعار الذهب في الجزائر خلال فترة الدراسة



المصدر: من إعداد الباحثين وبالاعتماد على مخرجات برنامج Eviews10

يمثل الشكل (01) التطور اليومي لأسعار الذهب في الجزائر خلال الفترة 2016/01/01 إلى 29/02/2020 إلى غاية 2020/02/29 ببيانات يومية يقدر عددها بـ 1521 مشاهدة⁵، حيث نلاحظ أن أسعار الذهب في تزايد مستمر خلال السادس الأول من سنة 2016 إلى أن وصل إلى قيمة 151096.44 دج للأوقية وهذا راجع إلى انخفاض سعر الدولار الأمريكي، كما نلاحظ

انخفاض في أسعار الذهب خلال السداسي الثاني من سنة 2016 كما أن أسعار الذهب خضعت لاضطرابات كبيرة خلال سنة 2017 حيث بلغت أعلى قيمة لها 142148.92 دج وأدنى قيمة لها هي 133548.09 دج، إلا أن هذا الانخفاض مقارنة بالسداسي الأول من سنة 2016 راجع لارتفاع سعر الدولار الأمريكي والانخفاض القدرة الشرائية للعملة الوطنية خاصة بعد قرار طبع النقود في الجزائر و المعروف "بالمتمويل غير تقليدي"، وبعد ذلك تبدأ أسعار أوقية الذهب في التحسن تدريجيا خلال كل فترة الدراسة حتى تصل أعلى قيمة لها 201121.57 دج في 23/02/2020.

3. مراجعة مختصرة لأهم النماذج المستخدمة في الدراسة:

يمكنا فيما يلي تلخيص أهم النماذج المستخدمة في نمذجة وقياس تقلبات أسعار أوقية الذهب، كما أثنا نستعرض شروط تطبيقها وحدود استعمالها:

1.3 نماذج الانحدار الذاتي المشروط بعدم تجانس التباين ARCH:

يعتبر نموذج ARCH(P) أول النماذج والذي تم اقتراحه من طرف (Robert Engel, 1982) وهو نموذج خطى ومتناطر، بحيث يتم ضمن هذا النموذج اعتبار التباين الشرطي h_t^2 متغيراً تابعاً لمربعات حدود الخطأ لفترات السابقة $i=1 \dots t-1$ ، ويعطى بالعلاقة التالية⁶:

$$h_t^2 = \alpha_0 + \sum_{i=1}^p \alpha_i \zeta_{t-i}^2 \quad \text{وحتى يكون النموذج معرف و التباين مستقر يتشرط أن تكون: } \alpha_0 \neq 0 \wedge \alpha_i \geq 0 \dots i = 1 \dots P$$

2.3 نماذج الانحدار الذاتي المعمم المشروطة بعدم تجانس التباين GARCH:

قدم الباحث (Bollerslev, 1986) باقتراح تعليم لنماذج ARCH من خلال إضافة التباين الشرطي لفترات السابقة إلى نماذج ARCH ليصبح بالصيغة التالية⁷:

$$h_t^2 = \alpha_0 + \sum_{i=1}^p \alpha_i \zeta_{t-i}^2 + \sum_{j=1}^q \beta_j h_{t-j}^2 \quad \text{وحتى يكون النموذج معرف و التباين مستقر يتشرط أن تكون: } \sum_{i=1}^p \alpha_i + \sum_{j=1}^q \beta_j \neq 1 \Leftrightarrow \alpha(1) + \beta(1) \neq 1$$

3.3 نماذج TGARCH :

تم استخدام هذا النوع من النماذج في البداية من طرف (Engle et Bollerslev, 1986)، والتي تسمى بنماذج العبة TARCH (Threshold)، و تعتمد هذه الصياغة على فكرة أن استجابة التباين الشرطي في حالة الصدمات العشوائية ذات القيمة السالبة (ζ_t^-) تختلف عن الاستجابة في حالة الصدمات العشوائية ذات القيمة الموجبة (ζ_t^+) و هذا ما يلغي فرضية التناظر في النماذج السابقة. أي انه يجب شرح التباين على أساس تجزئة الأخطاء على حسب الإشارة و هذا مقبول على اعتبار أن استجابة العديد من الظواهر في حالة حدوث صدمة مختلف على حسب الاضطراب السابق هل هو بالزيادة أو بالنقصان. وقد تم تعليم النموذج TARCH من طرف (Rabemananjara et Zakoian, 1991) ليصبح التباين الشرطي للنماذج TGARCH على النحو التالي⁸:

$$h_t^2 = \alpha_0 + \sum_{i=1}^p \alpha_i^+ (\zeta_{t-i}^+)^2 - \sum_{i=1}^p \alpha_i^- (\zeta_{t-i}^-)^2 + \sum_{j=1}^q \beta_j h_{t-j}^2$$

و هذه الصياغة تعني أن التباين الشرطي يتأثر بإشارة الصدمات الحاصلة و بمدى هذه الصدمات، وحتى يكون النموذج معرف و التباين مستقر يتشرط أن تكون: $\alpha_0 \neq 0 ; \alpha_i^+ \geq 0 ; \alpha_i^- \geq 0 ; \beta_j \geq 0$

4.3 النماذج الآسية (Exponentiel GARCH) : EGARCH

يسمى هذا النوع من النماذج بالنماذج الآسية (Exponential EGARCH) و التي تم استحداثها من طرف (Nelson, 1991)، و تعتمد هذه النماذج على فكرة أن إلغاء فرضيتي التناظر و الصياغة الخطية للتبابين الشرطي عن طريق نمذجة التبابين الشرطي على الشكل الآسي مع عدم وجود قيود على إشارة المعاملات α_i و β_j ، و نكتب:⁹

$$\ln(h_t^2) = \alpha_0 + \sum_{i=1}^p \alpha_i [\gamma Z_{t-i} + \lambda(|Z_{t-i}| + E(|Z_{t-i}|))] + \sum_{j=1}^q \beta_j \ln(h_{t-j}^2) ; \quad Z_{t-i} = \frac{\zeta_{t-i}}{h_{t-i}}$$

حيث أن: \ln تمثل اللوغاريتم النبيري، و المعاملات γ و λ تحدد آثار إشارة الصدمات و مدتها على التوالي، Z_{t-i} تعبر عن نسبة الصدمات إلى الانحراف المعياري المشروط لنفس الفترة.

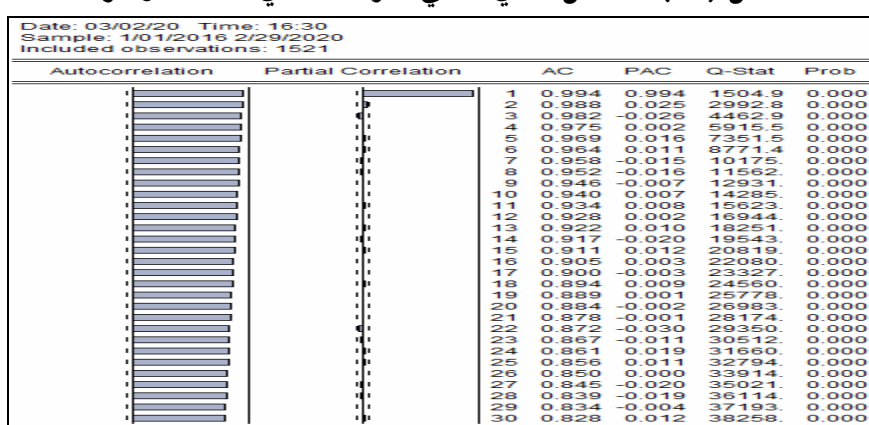
4. نمذجة أسعار الذهب في الجزائر

لقد تمأخذ اللوغاريتم لسلسلة أسعار الذهب في الجزائر وذلك للتقليل من الاضطرابات الحاصلة في السلسلة وتم تمييز السلسلة بالرمز (LAU)، وقبل الشروع في عملية نمذجة سلسلة أسعار الذهب في الجزائر لابد أولاً من التأكد من استقرارية السلسلة محل الدراسة.

1.4 دراسة استقرارية سلسلة أسعار الذهب في الجزائر:

تعتبر دراسة الاستقرارية هي الخطوة الأولى في عملية النمذجة إذ انه لا يمكننا نمذجة أي سلسلة حتى نتأكد من أنها مستقرة، وبالتالي يجب في البداية التخلص من كل المركبات الزمنية إن وجدت ضمن السلسلة لأنها تؤدي في الغالب الأحيان إلى عدم استقرار السلسلة،¹⁰ وبالاعتماد على (Correlogram) ذاتي الارتباط الذاتي البسيطة والجزئية الشكل (2) نلاحظ أن كل معاملات دالة الارتباط الذاتي البسيطة تقع خارج مجال الثقة مما يوحي لنا بوجود مركبة الاتجاه العام وبالتالي عدم استقرارية السلسلة (LAU).

الشكل (02): التمثيل البياني للدالتي الارتباط الذاتي البسيطة والجزئية



المصدر: من إعداد الباحثين وبالاعتماد على مخرجات برنامج Eviews10

ويمكن التأكد من ذلك باللجوء إلى اختبارات جذر الوحدة، ولقد تم الاعتماد في هذه الدراسة على الاختبارين (ADF) و (PP)، ونعتبر السلسلة مستقرة بالنسبة للاختبارين ويكون ذلك بعدم وجود جذر الوحدة في النماذج الثلاثة: بدون ثابت، مع ثابت، مع ثابت ووجود مركبة الزمن، وبغرض تحديد التأثيرات اللازمة لتصحيح مشكل الارتباط الذاتي وعدم ثبات تباين الأخطاء الممكن في نماذج جذر الوحدة لهذه الاختبارات، فإننا نعتمد على الاختيار الأمثل الذي يحدده البرنامج (Automatic)

وعلى أساس معيار Akaike¹¹.

1.1.4 دراسة استقرارية السلسلة (LAU) حسب اختبار ADF:

بعد إجراء اختبار (ADF) فإننا نسجل القيم الإحصائية المحسوبة لجذر الوحدة والاحتمال المرافق لها، والنتائج موضحة في الجدول (01):

الجدول (1): نتائج اختبار استقرارية السلسلة (LAU) باستخدام ADF

الفرق الأول		عند المستوى		مستوى الفرق
الاحتمال	الإحصائية المحسوبة	الاحتمال	الإحصائية المحسوبة	نوع النموذج
0.0000	-30.3645	0.9933	2.1710	بدون ثابت ولا اتجاه عام
0.0000	-30.4803	0.6275	-1.3087	مع ثابت فقط
0.0000	-30.4703	0.4667	-2.2394	مع ثابت واتجاه عام

المصدر: من إعداد الباحثين وبالاعتماد على مخرجات برنامج Eviews10

ومن خلال النتائج نلاحظ أن السلسلة (LAU) في المستوى الأصلي تمتلك جذر وحدة بالنسبة للنموذج الثلاثة حتى عند مستوى معنوية 10% وبالتالي فالسلسلة غير مستقرة في المستوى، غير انه عند إجراء الفرق الأول للسلسلة (LAU) فإننا نلاحظ غياب جذور الوحدة في النماذج الثلاثة عند مستوى معنوية 1% فقط وبالتالي فالسلسلة (LAU) متكاملة من الدرجة الأولى.

2.1.4 دراسة استقرارية السلسلة (LAU) حسب اختبار PP:

بعد استعمال اختبار (PP) فإننا نسجل كذلك قيمة الإحصائية المحسوبة لجذر الوحدة والاحتمال المرافق لها في الجدول (2)، ومن خلال النتائج نلاحظ أن السلسلة (LAU) في المستوى الأصلي تمتلك جذر وحدة بالنسبة للنموذج الثلاثة حتى عند مستوى معنوية 10% وبالتالي فالسلسلة غير مستقرة.

الجدول (2): نتائج اختبار استقرارية السلسلة (LAU) باستخدام PP

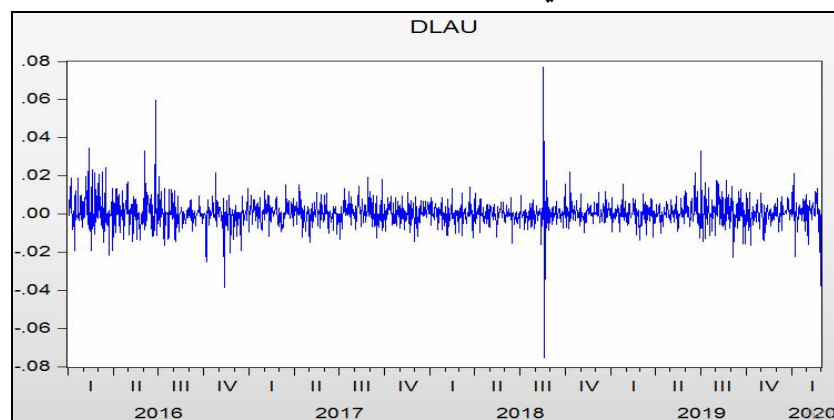
الفرق الأول		عند المستوى		مستوى الفرق
الاحتمال	الإحصائية المحسوبة	الاحتمال	الإحصائية المحسوبة	نوع النموذج
0.0000	-42.3632	0.9917	2.0927	بدون ثابت ولا اتجاه عام
0.0000	-42.5246	0.6000	-1.3665	مع ثابت فقط
0.0000	-42.3632	0.3888	-2.3821	مع ثابت واتجاه عام

المصدر: من إعداد الباحثين وبالاعتماد على مخرجات برنامج Eviews10

غير أنه عند إخضاع للسلسلة (LAU) للفرق الأول فإننا نلاحظ غياب جذر الوحدة في النماذج الثلاثة عند مستوى معنوية 1% فقط وبالتالي فالسلسلة (LAU) متكاملة من الدرجة الأولى.

ومن أجل التأكيد من استقرارية السلسلة (LAU) بعد إخضاعها للفرق الأول نقوم باستعراض التمثيل البياني للسلسلة (DLAU) في الشكل (03) في الصفحة الموالية، حيث نلاحظ أنه تم التخلص من مركبة الاتجاه العام من السلسلة الأصلية (LAU) مما يوحى بإستقرارية السلسلة (DLAU)، إلا أنها تخضع لاضطرابات كبيرة حيث بلغت أدنى قيمة 11076 - بتاريخ 2018/08/18 وسجلت أقصى قيمة 11276 دج في تاريخ 2018/08/20، مما يوحى أنه خلال عملية النمذجة قد تكون بواقي النموذج تعانى من مشكلة عدم ثبات التباين، غير أن هذه النتيجة لا يمكننا التأكيد منها بيانياً فقط بل يجب إجراء بعض الاختبارات الإحصائية المتخصصة في ذلك وهو ما سنقوم به لاحقاً.

الشكل (03): التمثيل البياني لسلسلة أسعار الذهب بعد إخضاعها للفرق الأول



المصدر: من إعداد الباحثين وبالاعتماد على مخرجات برنامج Eviews10

2.4 التعرف على النموذج الأفضل :ARIMA (q;d;p)

من أجل التعرف على النموذج الأفضل من بين النماذج التي يتم اقتراحها اعتماداً على التمثيل البياني لدالتي الارتباط الذاتي البسيطة والجزئية لسلسلة أسعار الذهب في الجزائر بعد إخضاعها للفرق الأول (correlogramme DLAU)،¹² وقد تم اختيار النماذج ذات الدلالة الإحصائية من بين كل النماذج المقترحة والنتائج موضحة في الجدول (3)، وتعتمد على المعيارين log vraisemblance و Akaike للمفاضلة بين النماذج.

الجدول (3): معايير المفاضلة بين جودة النماذج لسلسلة DLAU

المعيار	النموذج	AR(1)	AR(2)	Ma(1)	ARMA(1;1)
AIC		-7.0811	- 7.0842	-7.0821	-7.0831
LMV		5384.654	5388.008	5385.4	5387.177
المعنوية		جيءة	جيءة	جيءة	جيءة
قابلية MA للقلب		قابل للقلب	قابل للقلب	قابل للقلب	قابل للقلب
قابلية AR للإستقرارية		مستقر	مستقر	مستقر	مستقر

المصدر: من إعداد الباحثين وبالاعتماد على مخرجات برنامج Eviews10 (انظر الملحق من 1 إلى 3)

إن جل النماذج المذكورة في الجدول أعلاه تم تقديمها بالاعتماد على طريقة المعقولية العظمى وباستعمال خوارزمية BHHH لأنها تعتبر أفضل طريقة في تقدير نماذج ARIMA¹³، من خلال الجدول أعلاه يتبين أن النموذج الأكثر ملائمة هو (2) AR ذلك لأن لديه أقل قيمة في معيار AIC، كما أنه يمنحنا أعظم احتمال LMV، كما أن معلم هذا النموذج ذات معنوية جيدة بالإضافة إلى انه مستقر وقابل للقلب. كما هو موضح في الجدول (4).

ومن خلال نتيجة التقدير الموضحة في الجدول (4)، فبالنسبة للمعنوية الفردية لمعلم النموذج، وباستعمال الاحتمال المرافق لاختبار ستيفونز نلاحظ أن معلم النموذج [الحد الثابت، (1) AR، (2) AR] لها دلالة إحصائية عند مستويات المعنوية 5%. أما بالنسبة للمعنوية الكلية للنموذج ومن خلال الاحتمال المرافق لاختبار فيشر نلاحظ أن النموذج له دلالة إحصائية عند مستوى معنوية 1%.

المجدول(4): نتيجة تدبير النموذج (2) AR (2)

Dependent Variable: DLAU Method: ARMA Maximum Likelihood (OPG - BHHH) Date: 03/02/20 Time: 21:33 Sample: 1/02/2016 2/29/2020 Included observations: 1520 Convergence achieved after 54 iterations Coefficient covariance computed using outer product of gradients				
Variable	Coefficient	Std. Error	t-Statistic	Prob.
C	0.000339	0.000166	2.050555	0.0405
AR(1)	-0.089803	0.027929	-3.215346	0.0013
AR(2)	-0.066972	0.010873	-6.159312	0.0000
SIGMASQ	4.88E-05	6.61E-07	73.91029	0.0000
R-squared	0.011468	Mean dependent var	0.000338	
Adjusted R-squared	0.009512	S.D. dependent var	0.007030	
S.E. of regression	0.006996	Akaike info criterion	-7.084221	
Sum squared resid	0.074206	Schwarz criterion	-7.070204	
Log likelihood	5388.008	Hannan-Quinn criter.	-7.079003	
F-statistic	5.862314	Durbin-Watson stat	1.998306	
Prob(F-statistic)	0.000560			
Inverted AR Roots	-0.04+.25i	-0.04-.25i		

المصدر: من إعداد الباحثين وبالاعتماد على مخرجات برنامج Eviews10

وعلى أساس نتائج التدبير أعلاه يمكننا كتابة معادلة صيرورة (DLAU) كالتالي:

$$DLAU = 0.00033 - 0.0898 DLAU_{t-1} - 0.0669 DLAU_{t-2} + \epsilon_t$$

3.4 دراسة صلاحية النموذج:

حتى يكون النموذج المقترن (AR(2) مقبول ويصف سلوك أسعار الذهب في الجزائر خلال فترة الدراسة يجب أن يتحقق فرضيات النموذج، وهي أن يكون مستقر وقابل للقلب وهذه الفرضية تم التأكد منها، كما يجب أن تكون بوافي النموذج تشويش ابيض اي مستقلة عن بعض وذات نباين ثابت تتوزع طبيعياً.

1.3.4 اختبار وجود مشكل الارتباط الذاتي بين بوافي النموذج:

بغرض اختبار وجود مشكل الارتباط الذاتي بين بوافي النموذج المقترن (AR(2) نقوم بتقديم التمثيل البياني لذاتي الارتباط الذاتي البسيطة والجزئية لبوافي النموذج في الشكل التالي:

الشكل (4): التمثيل البياني لذاتي الارتباط الذاتي البسيطة والجزئية لبوافي النموذج

Date: 03/13/20 Time: 14:06 Sample: 1/01/2016 2/29/2020 Included observations: 1520 Q-statistic probabilities adjusted for 2 ARMA terms						
Autocorrelation	Partial Correlation	AC	PAC	Q-Stat	Prob.	
		1 0.001	0.001	0.0008		
		2 -0.001	-0.001	0.0042		
		3 0.008	0.008	0.1023	0.749	
		4 -0.035	-0.035	1.9996	0.368	
		5 -0.000	-0.000	1.9998	0.572	
		6 0.038	0.038	4.196	0.380	
		7 0.050	0.051	8.0842	0.152	
		8 0.013	0.012	8.3584	0.213	
		9 0.022	0.021	8.3600	0.392	
		10 -0.016	-0.014	8.7631	0.363	
		11 0.024	0.020	8.6180	0.382	
		12 0.030	0.030	11.013	0.357	
		13 -0.026	-0.029	12.029	0.362	
		14 -0.002	-0.007	12.038	0.443	
		15 -0.015	-0.019	12.400	0.495	
		16 0.007	0.011	12.484	0.568	
		17 -0.019	-0.018	13.031	0.600	
		18 -0.008	-0.007	13.120	0.664	
		19 0.058	0.054	17.904	0.395	
		20 0.002	0.005	17.905	0.462	
		21 0.074	0.075	26.322	0.129	
		22 0.019	0.020	28.456	0.186	
		23 -0.039	-0.034	29.285	0.108	
		24 0.016	0.015	29.638	0.128	
		25 0.021	0.024	30.344	0.140	
		26 -0.002	-0.007	30.352	0.173	
		27 -0.003	-0.014	30.370	0.211	
		28 0.023	0.012	31.207	0.221	

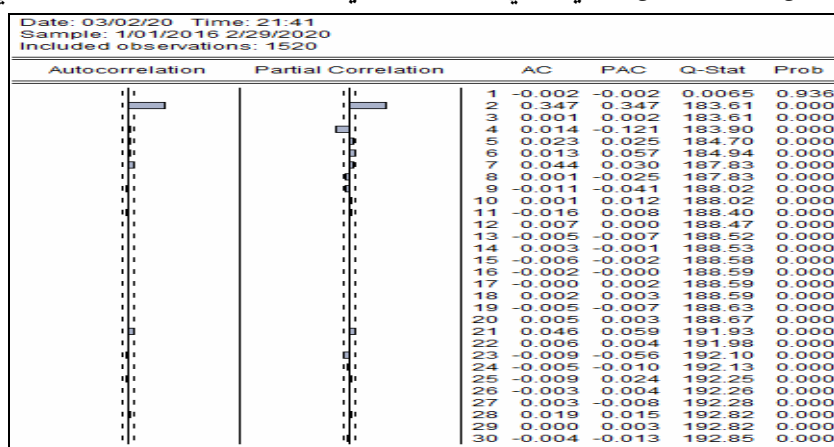
المصدر: من إعداد الباحثين وبالاعتماد على مخرجات برنامج Eviews10

نلاحظ من خلال دالة الارتباط الذاتي لبوافي، أن معاملات الارتباط الذاتي المحسوبة من أجل الفجوات كلها معنوية (تقع داخل مجال الثقة)، وباستعمال الاحتمال المرافق لاختبار Ljung-Box يمكننا قبول الفرضية المعروفة بمستوى معنوية 10% وبالتالي قبول فرضية عدم وجود ارتباط ذاتي ضمن بوافي النموذج.

2.3.4 اختبار وجود مشكل عدم تجانس التباين ضمن بوافي النموذج:

بالاعتماد على (G. Melard, 1992) فان تحليل دالتي الارتباط الذائي البسيطة والجزئية لمربعات البوافي الشكل (6) يؤكّد على أنها ذات معنوية إحصائية معروفة (تقع داخل مجال الثقة) ماعدا عند التأخيرين 2 و 4 فهي ذات معنوية إحصائية غير معروفة (تقع خارج مجال الثقة) مما يجعل من الاحتمال المراافق لـ اختبار Ljung-Box اقل من 1% وعليه نرفض الفرضية المعروفة بمستوى معنوية 1% و نؤكّد على أن تباين البوافي غير ثابت خلال فترة الدراسة.

الشكل (5): التمثيل البياني دالتي الارتباط الذائي البسيطة والجزئية لمربعات البوافي



المصدر: من إعداد الباحثين وبالاعتماد على مخرجات برنامج Eviews10

ويمكّنا التأكّد من عدم ثبات تباين البوافي عن طريق اختبار ARCH وفقا للنتائج الموضحة في الشكل (6) أدناه:

الشكل (6): نتائج اختبار ARCH

Heteroskedasticity Test: ARCH			
F-statistic	48.58214	Prob. F(5,1509)	0.0000
Obs*R-squared	210.0619	Prob. Chi-Square(5)	0.0000

المصدر: من إعداد الباحثين وبالاعتماد على مخرجات برنامج Eviews10

بالاعتماد على الاحتمال المراافق لهذا الاختبار (0.00) يمكننا رفض الفرضية المعروفة حتى عند مستوى معنوية 10% وبالتالي قبول فرضية عدم تجانس تباين البوافي خلال فترة الدراسة، وعليه فان النموذج المعتمد AR(2) يعني من مشكلة عدم ثبات التباين، مما يجعل من تباين مقدرات المعلم ليس الأقل وبالتالي فقد خاصية الأفضلية وعندئذ تصبح كل الاختبارات الإحصائية التي تعتمد على انحرافات المعلم غير صادقة مثل اختبارات المعلم.¹⁴

3.3.4 اختبار التوزيع الطبيعي:

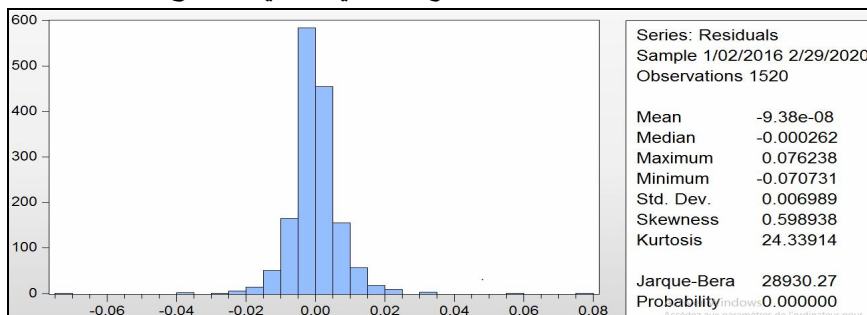
بغرض اختبار خصوب البوافي للتوزيع الطبيعي، فإننا نختبر أهم فرضيتين أساسيتين يمتاز بما التوزيع الطبيعي وهما التناظر (Skewness) والتفلطح (Kurtosis)، ونسجل نتائج هذا الاختبار في الشكل (8).

► اختبار فرضية التناظر والالتواز (Skewness):

$$V_1 = \frac{|\beta_1^{1/2} - 0|}{\sqrt{6/n}} = \frac{|0.598 - 0|}{\sqrt{6/1520}} = 9.518 \quad \text{إن إحصائية التناظر و الالتواز هي:}$$

و على أساس أن: $V_1 = 9.518 > 1.96$ يمكننا رفض الفرضية المعروفة و القول بان سلسلة البوافي غير متناظرة عند مستوى معنوية 5%.

الشكل (8): اختبار التوزيع الطبيعي لبواقي النموذج



المصدر: من إعداد الباحثين وبالاعتماد على مخرجات برنامج Eviews 10

► اختبار فرضية التفاطح (Kurtosis) :

$$V_2 = \frac{|\beta_2 - 3|}{\sqrt{24/n}} = \frac{|24.339 - 3|}{\sqrt{24/1520}} = 169.82$$

أما إحصائية التفاطح فهي:

و على اعتبار أن: $V_2 = 169.82 > 1.96$ يمكننا رفض الفرضية المعدومة و القول بأن سلسلة البوافي غير مفلطحة عند مستوى معنوية 5%. وعليه فإن سلسلة البوافي غير متاظرة و غير مفلطحة وبالتالي فهي لا تخضع للتوزيع الطبيعي.

► اختبار (Jarque Bera, 1984) :

يعتمد هذا الاختبار على الفرضية المعدومة التي تنص على خضوع البوافي للتوزيع الطبيعي، و بدمج الإحصائيتين السابقتين V_1 و V_2 تكون الإحصائية المحسوبة لهذا الاختبار على النحو التالي:

$$S = \frac{n}{6} \beta_1 + \frac{n}{24} (\beta_2 - 3)^2 = V_1^2 + V_2^2 = 28929.42$$

في مستوى معنوية 5% لدينا: $S = 28929.42 \geq \chi^2_{0.05}(2) = 5.991$ يمكننا رفض الفرضية المعدومة أي أن سلسلة البوافي لا تخضع للتوزيع الطبيعي. وبالاعتماد كذلك على الاحتمال المرافق لإحصائية JB يمكننا رفض الفرضية المعدومة عند مستوى معنوية 1% والتأكد على نفس النتيجة السابقة.

5. نمذجة تقلبات أسعار الذهب:

من أجل تصحيح مشكل عدم تجانس بوافي النموذج تم نمذجة عدم تجانس التباين والنتائج موضحة في الجدول (4):

الجدول (4): معايير المفضلة بين خاذج عدم تجانس التباين

المعايير					
	EGARCH(1.1)	ARCH(1)-M	GARCH(1;1)	ARCH(1)	النمذاج
AIC	-7.185	-7.116	-7.131	-7.0803	إحصائية Ljung-box للبوافي
LMV	5461.167	5407.67	5418.56	5378.97	
الاحتمال	0.235	0.041	0.189	0.01	إحصائية Ljung-box للبوافي
	33.021	42.28	34.37	48.259	
الاحتمال	0.692	0.886	0.999	0.000	إحصائية Ljung-box لمربعات البوافي
	26.057	21.053	11.74	91.34	
معنوية المتوسط الشرطي	جيدة	جيدة	جيدة	جيدة	
معنوية و شروط معالم التباين المشروط	مقبولة	مقبولة	مقبولة	مقبولة	

المصدر: من إعداد الباحثين وبالاعتماد على مخرجات برنامج Eviews 10 (انظر الملحق من 4 إلى 9)

بالاعتماد على النتائج المدونة في الجدول (4) فإن النموذج (1) ARCH مرفوض لوجود مشكل الارتباط الذاتي بين بواقي النموذج كما بعاني كذلك من مشكل عدم تجانس التباين. أما بالنسبة للنموذج M-(1) ARCH مرفوض لوجود مشكل الارتباط الذاتي بين بواقي، أما بالنسبة للنموذجين (1;1) GARCH و (1;1) EGARCH فان معالم وشروط التباين الشرطي مقبولة كما أكحلا لا يعانيا من مشكلتي الارتباط الذاتي وعدم ثبات التباين، إلا أن النموذج (1;1) EGARCH هو الأفضل بحيث له أقل قيمة في معيار Akaik وله أعظم قيمة في log-vraisemblance؛ كما أن التمثيل البياني للتباين الشرطي لهذا النموذج يعتبر مستقر نسبياً مما يوحي أن الصياغة المقترحة مقبولة في شرح تقلبات الظاهرة محل الدراسة (انظر الملحق 10). وعلى أساس نتيجة تقدير النموذج (1;1) EGARCH [انظر الملحق (7)] تكون معادلة التباين الشرطي على النحو التالي:

$$\ln(h_t^2) = -1.401 + 0.294 \times \left| \frac{\epsilon_{t-1}}{h_{t-1}} \right| - 0.062 \frac{\epsilon_{t-1}^2}{h_{t-1}^2} + 0.879 \times \ln(h_{t-1}^2)$$

ومن وجهاً إحصائياً وباستعمال اختبار ستويونت نلاحظ أن كل المعاملات α_1 و β_1 و γ_1 بالإضافة إلى الحد الثابت ذات معنوية إحصائية مقبولة عند 1%. وعليه فإن معالم التباين الشرطي مقبولة كما أن بواقي النموذج مستقلة عن بعض (انظر الملحق 08) و ذات تباين ثابت فهي تمثل تشويش ايض BB (انظر الملحق 09).

كما أن γ_1 ذات معنوية إحصائية مقبولة و تختلف عن الصفر كما أنها لا تساوي α_1 فإن ذلك يعني أن تأثير الصدمات الموجبة والسلبية على التباين الشرطي مختلف و بالتالي قبول فرضية عدم التناقض ضمن النموذج المدروس. وبما أن $\gamma_1 = -0.062\pi$ فإن هذا يعني أن الصدمات الموجبة المترافق مع الأخبار الجيدة تنتج تقلبات أقل حدة من تلك الصدمات السلبية المترافق مع الأخبار السيئة¹⁵.

6. الخلاصة:

تعتبر نمذجة حالات عدم ثبات التباين أحد أهم الموضوعات التي تناولها الاقتصاد القياسي وذلك من أجل تبع سلوك الكثير من الظواهر الاقتصادية وخصوصاً التي تخضع إلى تقلبات واضطرابات كثيرة، مما يساعد على اتخاذ قرارات ملائمة في العديد من الموضوعات كتغير أسعار الذهب وما ينجم عنه من اضطرابات على المستوى الاقتصادي وما تشهده من تقلبات وأزمات، وفي ظل هذه الاتجاهات جاءت الدراسة كمحاولة لنمذجة أسعار الذهب في الجزائر خلال الفترة من 01 جانفي 2016 إلى 29 فيفري 2020 باستخدام بيانات يومية بلغ عددها 1521. وخلصت الدراسة إلى العديد من النتائج نذكر منها:

- ✓ أثبتت كل الاختبارات أن السلسلة تعاني من مشكلة عدم ثبات التباين بسبب خصوبتها لكثير من التقلبات والاضطرابات؛
- ✓ كشفت اختبارات جذر الوحدة (ADF) و (PP) أن سلسلة أسعار الذهب غير مستقرة في المستوى بسبب احتوائها على جذور للوحدة، غير أن إخضاعها للفرق الأول كان كافٍ لجعلها مستقرة وبالتالي فهي متكاملة من الدرجة الأولى؛
- ✓ بعد تجربة العديد من نماذج ARMA لتتبع سلوك الظاهرة المدروسة تبين أن النموذج الأنسب للسلسلة المستقرة للغاريتم أسعار الذهب هو AR(2)؛
- ✓ أدت عملية تتبع سلوك التباين المشروط إلى رفض كل النماذج المتناظرة والخطية بسبب عدم قدرتها على استيعاب كل الاضطرابات والصدمات الحاصلة في الظاهرة المدروسة؛

✓ أن الصياغة الأساسية وغير متناظرة كانت الأقرب والأكثر ملائمة في تتبع سلوك التباين الشرطي لظاهره محل الدراسة،
وحيث تم اختيار نموذج EGARCH(1,1) كأفضل نموذج؛

✓ وعلى أساس النموذج الذي تم اعتماده: ARIMA(2,1,0) مع أخطاء من نوع (1,1) فإن تأثير الصدمات الموجبة والسلبية على التباين الشرطي مختلف و بالتالي قبول فرضية عدم التناظر ضمن النموذج المدروso. وبالناتي فإن الصدمات الموجبة المترافقه مع الأخبار الجيدة تنتج تقلبات أقل حدة من تلك الصدمات السلبية المترافقه مع الأخبار السيئة.

7. الهوامش والإحالات:

¹ M. Massarrat Ali Khan, **Forecasting of Gold Prices (Box Jenkins Approach)**, International Journal of Emerging Technology and Advanced Engineering, Volume 3, N° 3, 2013, PP 662-670.

² K Murali Krishna, N Konda Reddy and M Raghavendra Sharma, **Forecasting of Daily Prices of Gold in India using ARIMA and FFNN Models**, International Journal of Engineering and Advanced Technology (IJEAT), Volume 8, N° 3, 2019, PP 516-5021.

³ محمد رضا بوسنة، تحليل أثر تطور سعر النفط على سعر الذهب العالمي : باستخدام النموذج غير الخطى NARDL ، مجلة الإستراتيجية والتنمية، المجلد 09، العدد 03 :مكرر (الجزء الأول)، جامعة مستغانم، 2019، ص 96.

⁴ وليد سمير عبد العظيم الجبلى، أثر خصائص المتاجرة بالذهب على المشكلات المحاسبية في شركات التصنيع المصرية، مجلة إدارة الأعمال والدراسات الاقتصادية، المجلد 04 ، العدد 02 ، جامعة الجلفة، 2018 ، ص 84.

⁵ موقع سحب البيانات: <http://www.gold-prices-today.com>

⁶ محمد شيخي، طرق الاقتصاد القياسي محاضرات وتطبيقات، الطبعة الأولى، دار حامد للنشر التوزيع، عمان، الأردن، 2012، ص 316

⁷ Dina Hassan Abdel Hady, **Modeling Volatility with GARCH Family Models: An Application to Daily Stock Log-returns in Pharmaceutical Companies**, Pensee Journal, Volume 76, N° 9, Tanta University, 2014, P 55.

⁸ Sandrine Lardic et Valérie Mignon, **Econométrie des séries temporelles Macroéconomiques et Financières**, 1^{eme} édition, Economica, Paris, 2002, P. 294.

⁹ Ghulam ali , **EGARCH, GJR-GARCH, TGARCH, AVGARCH, NGARCH, IGARCH and APARCH Models for Pathogens at Marine Recreational sites**, Journal of statistical and Econometric Method, Volume 2, N° 3, 2013, P 60.

¹⁰ Georges Bresson et Alain Pirotte, **Econométrie des Séries temporelles : Théorie et Application**, 1^{eme} édition, Presses Universitaires de France, Paris, 1995, P14.

¹¹ Régis Bourbonnais, **Économétrie**, 9^{eme} édition, Dunod, Paris, 2015, P250.

¹² Régis Bourbonnais et Michel Terraza, **Analyse des Séries Temporelle en Economie : Application a l'économie et a la gestion**, 3^{eme} édition, Dunod, 2010, P 219.

¹³ William Greene, Traduction de la 5^{eme} édition par Théophile Azomahou et Nicolas Coudec, **Econométrie**, édition française dirigée par Didier Schlachter, Pearson, Université Paris II, 2005, P 474.

¹⁴ Damodar N. Gujarati, Traduction par Bernard Bernier, **Econométrie**, 4^{eme} édition, édition de Boeck, université de Bruxelles, 2004, P 402.

¹⁵ قبلي زهير، **تطاير عوائد مؤشر بورصة قطر بين التمايز وعدم التمايز**، مجلة دراسات في الاقتصاد والتجارة والمالية، المجلد 02، العدد 02، جامعة الجزائر 03، 2016، ص 389.

8. الملحق

الملحق (02): نتائج تقييم النموذج (1) MA

Dependent Variable: DLAU				
Method: ARMA Maximum Likelihood (OPG - BHSS)				
Date: 03/02/20 Time: 21:46				
Sample: 1/02/2016 2/29/2020				
Included observations: 1520				
Convergence achieved after 9 iterations				
Coefficient covariance computed using outer product of gradients				
Variable	Coefficient	Std. Error	t-Statistic	Prob.
C	0.000338	0.000164	2.058761	0.0397
MA(1)	-0.095572	0.025875	-3.693647	0.0002
SIGMASQ	4.90E-05	5.60E-07	87.48369	0.0000
R-squared	0.008066	Mean dependent var	0.000338	
Adjusted R-squared	0.006758	S.D. dependent var	0.007030	
S.E. of regression	0.007006	Akaike info criterion	-7.082106	
Sum squared resid	0.074462	Schwarz criterion	-7.071593	
Log likelihood	5385.400	Hannan-Quinn criter.	-7.078192	
F-statistic	6.167503	Durbin-Watson stat	1.989289	
Prob(F-statistic)	0.002149			
Inverted MA Roots	.10			

الملحق (01): نتائج تقييم النموذج (1) AR

Dependent Variable: DLAU				
Method: ARMA Maximum Likelihood (OPG - BHSS)				
Date: 03/02/20 Time: 21:45				
Sample: 1/02/2016 2/29/2020				
Included observations: 1520				
Convergence achieved after 5 iterations				
Coefficient covariance computed using outer product of gradients				
Variable	Coefficient	Std. Error	t-Statistic	Prob.
C	0.000338	0.000167	2.027763	0.0428
AR(1)	-0.084149	0.028072	-2.997649	0.0028
SIGMASQ	4.90E-05	5.03E-07	97.50624	0.0000
R-squared	0.007090	Mean dependent var	0.000338	
Adjusted R-squared	0.005781	S.D. dependent var	0.007030	
S.E. of regression	0.007010	Akaike info criterion	-7.081124	
Sum squared resid	0.074535	Schwarz criterion	-7.070611	
Log likelihood	5384.654	Hannan-Quinn criter.	-7.077210	
F-statistic	5.416330	Durbin-Watson stat	2.010984	
Prob(F-statistic)	0.004530			
Inverted AR Roots	-.08			

الملحق (4): نتائج تقييم النموذج ARCH(1)

Dependent Variable: DLAU				
Method: ML ARCH - Normal distribution (OPG - BHSS / Marquardt steps)				
Date: 03/02/20 Time: 21:49				
Sample (adjusted): 1/04/2016 2/29/2020				
Included observations: 1518 after adjustments				
Convergence not achieved after 500 iterations				
Coefficient covariance computed using outer product of gradients				
Presample variance: backcast (parameter = 0.7)				
GARCH = C(4) + C(5)*RESID(-1)^2				
Variable	Coefficient	Std. Error	z-Statistic	Prob.
C	0.000439	0.000103	4.245991	0.0000
AR(1)	-0.219653	0.010995	-19.97766	0.0000
AR(2)	-0.062388	0.018792	-3.319866	0.0009
Variance Equation				
C	3.25E-05	4.60E-07	70.63516	0.0000
RESID(-1)^2	0.171429	0.017248	9.939310	0.0000
R-squared	-0.005831	Mean dependent var	0.000338	
Adjusted R-squared	-0.007159	S.D. dependent var	0.007034	
S.E. of regression	0.007060	Akaike info criterion	-7.080341	
Sum squared resid	0.075503	Schwarz criterion	-7.062801	
Log likelihood	5378.979	Hannan-Quinn criter.	-7.073811	
Durbin-Watson stat	1.742996			
Inverted AR Roots	-.11-.22i	-.11+.22i		

الملحق (03): نتائج تقييم النموذج ARMA (1; 1)

Dependent Variable: DLAU				
Method: ARMA Maximum Likelihood (OPG - BHSS)				
Date: 03/02/20 Time: 21:47				
Sample: 1/02/2016 2/29/2020				
Included observations: 1520				
Convergence achieved after 47 iterations				
Coefficient covariance computed using outer product of gradients				
Variable	Coefficient	Std. Error	t-Statistic	Prob.
C	0.000339	0.000160	2.125343	0.0337
AR(1)	0.369684	0.198065	1.866484	0.0622
MA(1)	-0.465035	0.176282	-2.638020	0.0084
SIGMASQ	4.89E-05	6.88E-07	71.02453	0.0000
R-squared	0.010385	Mean dependent var	0.000338	
Adjusted R-squared	0.008426	S.D. dependent var	0.007030	
S.E. of regression	0.007000	Akaike info criterion	-7.083128	
Sum squared resid	0.074288	Schwarz criterion	-7.069111	
Log likelihood	5387.177	Hannan-Quinn criter.	-7.077909	
F-statistic	5.302871	Durbin-Watson stat	1.989631	
Prob(F-statistic)	0.001228			
Inverted AR Roots	.37			
Inverted MA Roots	.47			

الملحق (6): نتائج تقييم النموذج ARCH (1)-M

Dependent Variable: DLAU				
Method: ML ARCH - Normal distribution (OPG - BHSS / Marquardt steps)				
Date: 03/02/20 Time: 21:50				
Sample (adjusted): 1/04/2016 2/29/2020				
Included observations: 1518 after adjustments				
Convergence achieved after 313 iterations				
Coefficient covariance computed using outer product of gradients				
Presample variance: backcast (parameter = 0.7)				
GARCH = C(5) + C(6)*RESID(-1)^2				
Variable	Coefficient	Std. Error	z-Statistic	Prob.
LOG(GARCH)	-0.002117	0.000432	-4.897362	0.0000
C	-0.020760	0.004297	-4.831563	0.0000
AR(1)	-0.217697	0.026163	-8.320662	0.0000
AR(2)	-0.045950	0.024017	-1.913237	0.0557
Variance Equation				
C	3.97E-05	7.16E-07	55.41611	0.0000
RESID(-1)^2	0.237489	0.028837	8.235699	0.0000
R-squared	-0.009624	Mean dependent var	0.000338	
Adjusted R-squared	-0.011625	S.D. dependent var	0.007034	
S.E. of regression	0.007075	Akaike info criterion	-7.116822	
Sum squared resid	0.075788	Schwarz criterion	-7.095774	
Log likelihood	5407.668	Hannan-Quinn criter.	-7.108985	
Durbin-Watson stat	1.742390			
Inverted AR Roots	-.11-.18i	-.11+.18i		

الملحق (5): نتائج تقييم النموذج GARCH (1; 1)

Dependent Variable: DLAU				
Method: ML ARCH - Normal distribution (OPG - BHSS / Marquardt steps)				
Date: 03/02/20 Time: 21:48				
Sample (adjusted): 1/04/2016 2/29/2020				
Included observations: 1518 after adjustments				
Convergence not achieved after 500 iterations				
Coefficient covariance computed using outer product of gradients				
Presample variance: backcast (parameter = 0.7)				
GARCH = C(4) + C(5)*RESID(-1)^2 + C(6)*GARCH(-1)				
Variable	Coefficient	Std. Error	z-Statistic	Prob.
C	0.000638	0.000110	5.814166	0.0000
AR(1)	-0.123875	0.023557	-5.258475	0.0000
AR(2)	-0.073490	0.023304	-3.153534	0.0016
Variance Equation				
C	9.22E-06	1.00E-06	9.217197	0.0000
RESID(-1)^2	0.149977	0.012978	11.55603	0.0000
GARCH(-1)	0.599977	0.029699	20.20190	0.0000
R-squared	0.007733	Mean dependent var	0.000338	
Adjusted R-squared	0.006423	S.D. dependent var	0.007034	
S.E. of regression	0.007012	Akaike info criterion	-7.131178	
Sum squared resid	0.074485	Schwarz criterion	-7.110130	
Log likelihood	5418.564	Hannan-Quinn criter.	-7.123341	
Durbin-Watson stat	1.922135			
Inverted AR Roots	-.06+.26i	-.06-.26i		

الملحق (7): نتائج تقييم النموذج EGARCH (1; 1)

<p>Date: 03/13/20 Time: 14:41 Sample: 1/01/2016 2/29/2020 Included observations: 1518</p> <table border="1" style="width: 100%; border-collapse: collapse; font-size: 0.8em;"> <thead> <tr> <th>Autocorrelation</th> <th>Partial Correlation</th> <th>AC</th> <th>PAC</th> <th>Q-Stat</th> <th>Prob*</th> </tr> </thead> <tbody> <tr><td></td><td></td><td>1</td><td>-0.021</td><td>-0.021</td><td>0.6779</td></tr> <tr><td></td><td></td><td>2</td><td>0.068</td><td>0.068</td><td>7.1583</td></tr> <tr><td></td><td></td><td>3</td><td>-0.016</td><td>-0.013</td><td>9.1526</td></tr> <tr><td></td><td></td><td>4</td><td>-0.025</td><td>-0.030</td><td>9.0716</td></tr> <tr><td></td><td></td><td>5</td><td>0.066</td><td>0.068</td><td>15.756</td></tr> <tr><td></td><td></td><td>6</td><td>-0.005</td><td>0.001</td><td>15.796</td></tr> <tr><td></td><td></td><td>7</td><td>0.029</td><td>0.019</td><td>17.120</td></tr> <tr><td></td><td></td><td>8</td><td>0.024</td><td>0.029</td><td>17.199</td></tr> <tr><td></td><td></td><td>9</td><td>0.024</td><td>-0.024</td><td>18.191</td></tr> <tr><td></td><td></td><td>10</td><td>-0.001</td><td>-0.004</td><td>18.192</td></tr> <tr><td></td><td></td><td>11</td><td>-0.027</td><td>-0.023</td><td>19.288</td></tr> <tr><td></td><td></td><td>12</td><td>0.001</td><td>-0.005</td><td>19.288</td></tr> <tr><td></td><td></td><td>13</td><td>-0.008</td><td>-0.005</td><td>19.392</td></tr> <tr><td></td><td></td><td>14</td><td>0.005</td><td>0.005</td><td>19.458</td></tr> <tr><td></td><td></td><td>15</td><td>-0.005</td><td>-0.005</td><td>19.477</td></tr> <tr><td></td><td></td><td>16</td><td>-0.011</td><td>-0.008</td><td>19.666</td></tr> <tr><td></td><td></td><td>17</td><td>0.009</td><td>0.010</td><td>19.797</td></tr> <tr><td></td><td></td><td>18</td><td>-0.011</td><td>-0.008</td><td>19.976</td></tr> <tr><td></td><td></td><td>19</td><td>-0.013</td><td>-0.016</td><td>20.229</td></tr> <tr><td></td><td></td><td>20</td><td>0.007</td><td>0.007</td><td>20.251</td></tr> <tr><td></td><td></td><td>21</td><td>0.052</td><td>0.056</td><td>24.445</td></tr> <tr><td></td><td></td><td>22</td><td>0.000</td><td>-0.002</td><td>24.445</td></tr> <tr><td></td><td></td><td>23</td><td>-0.019</td><td>-0.025</td><td>24.981</td></tr> <tr><td></td><td></td><td>24</td><td>-0.007</td><td>-0.005</td><td>25.057</td></tr> <tr><td></td><td></td><td>25</td><td>-0.013</td><td>-0.008</td><td>25.300</td></tr> <tr><td></td><td></td><td>26</td><td>0.011</td><td>-0.006</td><td>25.301</td></tr> <tr><td></td><td></td><td>27</td><td>0.003</td><td>0.001</td><td>25.713</td></tr> <tr><td></td><td></td><td>28</td><td>0.017</td><td>0.017</td><td>25.785</td></tr> <tr><td></td><td></td><td>29</td><td>-0.002</td><td>-0.001</td><td>25.792</td></tr> <tr><td></td><td></td><td>30</td><td>-0.013</td><td>-0.012</td><td>26.057</td></tr> </tbody> </table>	Autocorrelation	Partial Correlation	AC	PAC	Q-Stat	Prob*			1	-0.021	-0.021	0.6779			2	0.068	0.068	7.1583			3	-0.016	-0.013	9.1526			4	-0.025	-0.030	9.0716			5	0.066	0.068	15.756			6	-0.005	0.001	15.796			7	0.029	0.019	17.120			8	0.024	0.029	17.199			9	0.024	-0.024	18.191			10	-0.001	-0.004	18.192			11	-0.027	-0.023	19.288			12	0.001	-0.005	19.288			13	-0.008	-0.005	19.392			14	0.005	0.005	19.458			15	-0.005	-0.005	19.477			16	-0.011	-0.008	19.666			17	0.009	0.010	19.797			18	-0.011	-0.008	19.976			19	-0.013	-0.016	20.229			20	0.007	0.007	20.251			21	0.052	0.056	24.445			22	0.000	-0.002	24.445			23	-0.019	-0.025	24.981			24	-0.007	-0.005	25.057			25	-0.013	-0.008	25.300			26	0.011	-0.006	25.301			27	0.003	0.001	25.713			28	0.017	0.017	25.785			29	-0.002	-0.001	25.792			30	-0.013	-0.012	26.057	<p>Autocorrelation</p>
Autocorrelation	Partial Correlation	AC	PAC	Q-Stat	Prob*																																																																																																																																																																																						
		1	-0.021	-0.021	0.6779																																																																																																																																																																																						
		2	0.068	0.068	7.1583																																																																																																																																																																																						
		3	-0.016	-0.013	9.1526																																																																																																																																																																																						
		4	-0.025	-0.030	9.0716																																																																																																																																																																																						
		5	0.066	0.068	15.756																																																																																																																																																																																						
		6	-0.005	0.001	15.796																																																																																																																																																																																						
		7	0.029	0.019	17.120																																																																																																																																																																																						
		8	0.024	0.029	17.199																																																																																																																																																																																						
		9	0.024	-0.024	18.191																																																																																																																																																																																						
		10	-0.001	-0.004	18.192																																																																																																																																																																																						
		11	-0.027	-0.023	19.288																																																																																																																																																																																						
		12	0.001	-0.005	19.288																																																																																																																																																																																						
		13	-0.008	-0.005	19.392																																																																																																																																																																																						
		14	0.005	0.005	19.458																																																																																																																																																																																						
		15	-0.005	-0.005	19.477																																																																																																																																																																																						
		16	-0.011	-0.008	19.666																																																																																																																																																																																						
		17	0.009	0.010	19.797																																																																																																																																																																																						
		18	-0.011	-0.008	19.976																																																																																																																																																																																						
		19	-0.013	-0.016	20.229																																																																																																																																																																																						
		20	0.007	0.007	20.251																																																																																																																																																																																						
		21	0.052	0.056	24.445																																																																																																																																																																																						
		22	0.000	-0.002	24.445																																																																																																																																																																																						
		23	-0.019	-0.025	24.981																																																																																																																																																																																						
		24	-0.007	-0.005	25.057																																																																																																																																																																																						
		25	-0.013	-0.008	25.300																																																																																																																																																																																						
		26	0.011	-0.006	25.301																																																																																																																																																																																						
		27	0.003	0.001	25.713																																																																																																																																																																																						
		28	0.017	0.017	25.785																																																																																																																																																																																						
		29	-0.002	-0.001	25.792																																																																																																																																																																																						
		30	-0.013	-0.012	26.057																																																																																																																																																																																						

المحلق(9): لمربعات بوافي النموذج correlogram : EGARCH(1;1)

<p>Autocorrelation</p>	<p>Partial Correlation</p>
------------------------	----------------------------

المحلق(10): التمثيل البياني للتباين الشرطي

